

第 7 章习题解答

7-1 按磁动势等效、功率相等的原则，三相坐标系变换到两相静止坐标系的变换矩阵为

$$C_{3/2} = \sqrt{\frac{2}{3}} \begin{bmatrix} 1 & -\frac{1}{2} & -\frac{1}{2} \\ 0 & \frac{\sqrt{3}}{2} & -\frac{\sqrt{3}}{2} \end{bmatrix}$$

现有三相正弦对称电流 $i_A = I_m \cos(\omega t)$, $i_B = I_m \cos(\omega t - \frac{2\pi}{3})$, $i_C = I_m \cos(\omega t + \frac{2\pi}{3})$, 求

变换后两相静止坐标系中的电流 $i_{s\alpha}$ 和 $i_{s\beta}$, 分析两相电流的基本特征与三相电流的关系。

解：两相静止坐标系中的电流

$$\begin{aligned} \begin{bmatrix} i_{s\alpha} \\ i_{s\beta} \end{bmatrix} &= \sqrt{\frac{2}{3}} \begin{bmatrix} 1 & -\frac{1}{2} & -\frac{1}{2} \\ 0 & \frac{\sqrt{3}}{2} & -\frac{\sqrt{3}}{2} \end{bmatrix} \begin{bmatrix} i_A \\ i_B \\ i_C \end{bmatrix} = \sqrt{\frac{2}{3}} \begin{bmatrix} i_A & -\frac{1}{2}i_B & -\frac{1}{2}i_C \\ 0 & \frac{\sqrt{3}}{2}i_B & -\frac{\sqrt{3}}{2}i_C \end{bmatrix} \\ &= \sqrt{\frac{2}{3}} \begin{bmatrix} \frac{3}{2}i_A & 0 & 0 \\ 0 & \frac{\sqrt{3}}{2}i_B & -\frac{\sqrt{3}}{2}i_C \end{bmatrix} \end{aligned}$$

其中, $i_A + i_B + i_C = 0$

$$\begin{aligned} \begin{bmatrix} i_{s\alpha} \\ i_{s\beta} \end{bmatrix} &= \sqrt{\frac{2}{3}} \begin{bmatrix} \frac{3}{2}i_A & 0 & 0 \\ 0 & \frac{\sqrt{3}}{2}i_B & -\frac{\sqrt{3}}{2}i_C \end{bmatrix} = \sqrt{\frac{2}{3}} I_m \begin{bmatrix} \frac{3}{2} \cos(\omega t) \\ \frac{\sqrt{3}}{2} [\cos(\omega t - \frac{2\pi}{3}) - \cos(\omega t + \frac{2\pi}{3})] \end{bmatrix} \\ &= \sqrt{\frac{2}{3}} I_m \begin{bmatrix} \frac{3}{2} \cos(\omega t) \\ \frac{\sqrt{3}}{2} \left[\frac{e^{j(\omega t - \frac{2\pi}{3})} + e^{-j(\omega t - \frac{2\pi}{3})}}{2} - \frac{e^{j(\omega t + \frac{2\pi}{3})} + e^{-j(\omega t + \frac{2\pi}{3})}}{2} \right] \end{bmatrix} \\ &= \sqrt{\frac{2}{3}} I_m \begin{bmatrix} \frac{3}{2} \cos(\omega t) \\ \frac{\sqrt{3}}{2} \left[\frac{e^{-j\frac{2\pi}{3}} - e^{j\frac{2\pi}{3}}}{2} e^{j\omega t} + \frac{e^{j\frac{2\pi}{3}} - e^{-j\frac{2\pi}{3}}}{2} e^{-j\omega t} \right] \end{bmatrix} \\ &= \sqrt{\frac{2}{3}} I_m \begin{bmatrix} \frac{3}{2} \cos(\omega t) \\ -\frac{\sqrt{3}}{2} (e^{j\frac{2\pi}{3}} - e^{-j\frac{2\pi}{3}}) \frac{e^{j\omega t} - e^{-j\omega t}}{2} \end{bmatrix} \\ &= \sqrt{\frac{2}{3}} I_m \begin{bmatrix} \frac{3}{2} \cos(\omega t) \\ \sqrt{3} \sin(\frac{2\pi}{3}) \sin(\omega t) \end{bmatrix} = \sqrt{\frac{3}{2}} I_m \begin{bmatrix} \cos(\omega t) \\ \sin(\omega t) \end{bmatrix} \end{aligned}$$

两相电流与三相电流的频率相同，两相电流的幅值是三相电流的 $\sqrt{\frac{3}{2}}$ 倍，两相电流的相位差 $\frac{\pi}{2}$ 。

7-2 两相静止坐标系到两相旋转坐标系的变换阵为

$$C_{2s/2r} = \begin{bmatrix} \cos \varphi & \sin \varphi \\ -\sin \varphi & \cos \varphi \end{bmatrix}$$

将上题中的两相静止坐标系中的电流 $i_{s\alpha}$ 和 $i_{s\beta}$ 变换到两相旋转坐标系中的电流 i_{sd} 和 i_{sq} ，坐标系旋转速度 $\frac{d\varphi}{dt} = \omega_1$ 。分析当 $\omega_1 = \omega$ 时， i_{sd} 和 i_{sq} 的基本特征，电流矢量幅值

$i_s = \sqrt{i_{sd}^2 + i_{sq}^2}$ 与三相电流幅值 I_m 的关系，其中 ω 是三相电源角频率。

解：两相静止坐标系中的电流

$$\begin{bmatrix} i_{s\alpha} \\ i_{s\beta} \end{bmatrix} = \sqrt{\frac{3}{2}} I_m \begin{bmatrix} \cos(\omega t) \\ \sin(\omega t) \end{bmatrix}$$

两相旋转坐标系中的电流

$$\begin{aligned} \begin{bmatrix} i_{sd} \\ i_{sq} \end{bmatrix} &= \begin{bmatrix} \cos \varphi & \sin \varphi \\ -\sin \varphi & \cos \varphi \end{bmatrix} \begin{bmatrix} i_{s\alpha} \\ i_{s\beta} \end{bmatrix} = \sqrt{\frac{3}{2}} I_m \begin{bmatrix} \cos \varphi & \sin \varphi \\ -\sin \varphi & \cos \varphi \end{bmatrix} \begin{bmatrix} \cos(\omega t) \\ \sin(\omega t) \end{bmatrix} \\ &= \sqrt{\frac{3}{2}} I_m \begin{bmatrix} \cos \varphi \cos(\omega t) + \sin \varphi \sin(\omega t) \\ \cos \varphi \sin(\omega t) - \sin \varphi \cos(\omega t) \end{bmatrix} = \sqrt{\frac{3}{2}} I_m \begin{bmatrix} \cos(\omega t - \varphi) \\ \sin(\omega t - \varphi) \end{bmatrix} \end{aligned}$$

当 $\frac{d\varphi}{dt} = \omega_1$ 时， $\varphi = \omega_1 t$ ，两相旋转坐标系中的电流

$$\begin{bmatrix} i_{sd} \\ i_{sq} \end{bmatrix} = \sqrt{\frac{3}{2}} I_m \begin{bmatrix} \cos(\omega t - \varphi) \\ \sin(\omega t - \varphi) \end{bmatrix} = \begin{bmatrix} \sqrt{\frac{3}{2}} I_m \\ 0 \end{bmatrix}$$

电流矢量幅值

$$i_s = i_{sd} = \sqrt{\frac{3}{2}} I_m$$

7-3 按转子磁链定向同步旋转坐标系中状态方程为

$$\begin{aligned} \frac{d\omega}{dt} &= \frac{n_p^2 L_m}{J L_r} i_{st} \psi_r - \frac{n_p}{J} T_L \\ \frac{d\psi_r}{dt} &= -\frac{1}{T_r} \psi_r + \frac{L_m}{T_r} i_{sm} \\ \frac{di_{sm}}{dt} &= \frac{L_m}{\sigma L_s L_r T_r} \psi_r - \frac{R_s L_r^2 + R_r L_m^2}{\sigma L_s L_r^2} i_{sm} + \omega_1 i_{st} + \frac{u_{sm}}{\sigma L_s} \\ \frac{di_{st}}{dt} &= -\frac{L_m}{\sigma L_s L_r} \omega \psi_r - \frac{R_s L_r^2 + R_r L_m^2}{\sigma L_s L_r^2} i_{st} - \omega_1 i_{sm} + \frac{u_{st}}{\sigma L_s} \end{aligned}$$

坐标系的旋转角速度为

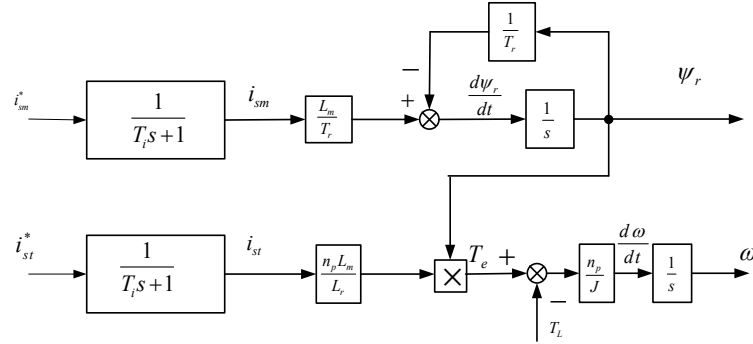
$$\omega_1 = \omega + \frac{L_m}{T_r \psi_r} i_{st}$$

假定电流闭环控制性能足够好，电流闭环控制的等效传递函数为惯性环节，

$$\begin{aligned} \frac{di_{sm}}{dt} &= -\frac{1}{T_i} i_{sm} + \frac{1}{T_i} i_{sm}^* \\ \frac{di_{st}}{dt} &= -\frac{1}{T_i} i_{st} + \frac{1}{T_i} i_{st}^* \end{aligned}$$

T_i 为等效惯性时间常数，画出电流闭环控制后系统的动态结构图，输入为 i_{sm}^* 和 i_{st}^* ，输出为 ω 和 ψ_r ，讨论系统的稳定性。

解：电流闭环控制后系统的动态结构图



转子磁链 ψ_r 子系统稳定，而转速 ω 子系统不稳定。

7-4 笼型异步电动机铭牌数据为：额定功率 $P_N = 3kW$ ，额定电压 $U_N = 380V$ ，额定电流

$I_N = 6.9A$ ，额定转速 $n_N = 1400r/min$ ，额定频率 $f_N = 50Hz$ ，定子绕组 Y 联接。由实

验测得定子电阻 $R_s = 1.85\Omega$ ，转子电阻 $R_r = 2.658\Omega$ ，定子自感 $L_s = 0.294H$ ，转子自感

$L_r = 0.2898H$ ，定、转子互感 $L_m = 0.2838H$ ，转子参数已折合到定子侧，系统的转动惯

量 $J = 0.1284kg \cdot m^2$ ，电机稳定运行在额定工作状态，假定电流闭环控制性能足够好。试

求：转子磁链 ψ_r 和按转子磁链定向的定子电流两个分量 i_{sm} 、 i_{st} 。

解：由异步电动机稳态模型得额定转差率

$$s_N = \frac{n_1 - n_N}{n_1} = \frac{1500 - 1400}{1500} = \frac{1}{15}$$

额定转差

$$\omega_{sN} = s_N \omega_1 = s_N 2\pi f_N = \frac{100\pi}{15} \text{ rad/s}$$

电流矢量幅值

$$i_s = \sqrt{i_{sm}^2 + i_{st}^2} = \sqrt{\frac{3}{2}} I_m = \sqrt{3} \times 6.9 \text{ A}$$

由按转子磁链定向的动态模型得

$$\frac{d\psi_r}{dt} = -\frac{r_r}{L_r} \psi_r + \omega_s \psi_r$$

稳定运行时, $\frac{d\psi_r}{dt} = 0$, 故 $\psi_r = \frac{L_r}{\omega_s} \omega_s \psi_r$,

$$i_{st} = \frac{\psi_r}{L_m} = \frac{100}{15} \times \frac{1}{2.056} = 3.21 \text{ A}$$

$$i_s = \sqrt{i_{sm}^2 + i_{st}^2} = \sqrt{1 + 2.2835^2} i_{sm} = 2.493 i_{sm} = \sqrt{3} \times 6.9$$

解得

$$i_{sm} = \frac{\sqrt{3} \times 6.9}{2.493} = 4.79 \text{ A}$$

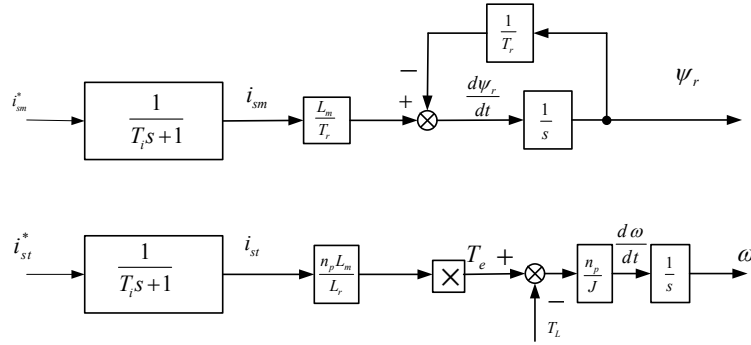
$$i_{st} = 3.21 = 0.67 \times 4.79 \text{ A}$$

转子磁链

$$\psi_r = 100 \times 0.001 = 0.1 \text{ Wb}$$

7-5 根据题 7-3 得到电流闭环控制后系统的动态结构图, 电流闭环控制等效惯性时间常数 $T_i = 0.001 \text{ s}$, 设计矢量控制系统转速调节器 ASR 和磁链调节器 AFR, 其中, ASR 按典型 II 型系统设计, AFR 按典型 I 型系统设计, 调节器的限幅按 2 倍过流计算, 电机参数同题 7-4。

解: 忽略转子磁链的交叉耦合, 电流闭环控制后系统的动态结构图



(1) 磁链调节器 *AFR* 设计

转子磁链 ψ_r 的等效传递函数 $W_\psi(s) = \frac{\psi_r(s)}{i_{sm}(s)} = \frac{1}{T_i s + 1} \frac{L_M}{T_r s + 1}$ ，*AFR* 选用 PI 调节器

$W_{PI}(s) = \frac{K_{PI}(\tau s + 1)}{\tau s}$ ，校正后系统的开环传递函数 $W(s) = \frac{K_{PI}(\tau s + 1)}{\tau s} \frac{1}{T_i s + 1} \frac{L_M}{T_r s + 1}$ ，令 $\tau = T_r$ ，则

校正后系统的开环传递函数 $W(s) = \frac{K_{PI} L_M}{\tau s (T_i s + 1)}$ ，等效开环传系函数 $K = \frac{K_{PI} L_M}{\tau}$ ，惯性时间常数 $T = T_i$ ，按 $KT = 0.5$ 设计。

(2) 转速调节器 *ASR* 设计

忽略负载转矩及转子磁链的变化率，即 $T_L = 0$ ， $\psi_r = \text{常数}$ ，则转速 ω 的等效传递函数

数 $W_\omega(s) = \frac{\omega(s)}{i_{st}(s)} = \frac{1}{T_i s + 1} \frac{n_p^2 L_m \psi_r}{J L_r s}$ ，校正后系统的开环传递函数

$W(s) = \frac{K_{PI}(\tau s + 1)}{\tau s} \frac{1}{T_i s + 1} \frac{n_p^2 L_m \psi_r}{J L_r s} = \frac{K_{PI} n_p^2 L_m \psi_r (\tau s + 1)}{J L_r \tau s^2 (T_i s + 1)}$ ，等效开环传系函数 $K = \frac{K_{PI} n_p^2 L_m \psi_r}{J L_r \tau}$ ， $\tau = h T_i$ ，

中频段宽度按 $h = 5$ 设计。

7-6 用 MATLAB 仿真软件，建立异步电动机的仿真模型，分析起动、加载电动机的过渡过程，电动机参数同题 7-4。

7-7 对异步电动机矢量控制系统进行仿真，分析仿真结果，观察在不同坐标系中的电流曲线，转速调节器 *ASR* 和磁链调节器 *AFR* 参数变化对系统的影响。

7-8 用 MATLAB 仿真软件，对直接转矩控制系统进行仿真，分析仿真结果，观察转矩与磁链双位式控制器环宽对系统性能的影响。

7-9 根据仿真结果，对矢量控制系统直接转矩控制系统作分析与比较。

习题 7-6 至 7-9 由读者自行仿真，并分析比较。